Use of Twenty Years CLUSTER/FGM Data to Observe

The Mean Behavior of the Magnetic Field and Current Density

of Earth's Magnetosphere

P. Robert Café spatial LPP du 25/02/2022

P. Robert and M. Dunlop, Dec. 2021 Journal of Geophysical Research: Space Physics, 126, e2021JA029837. https://doi.org/10.1029/2021JA029837

TECHNICAL REPORTS: DATA

Received 31 JUL 2021 Accepted 9 DEC 2021

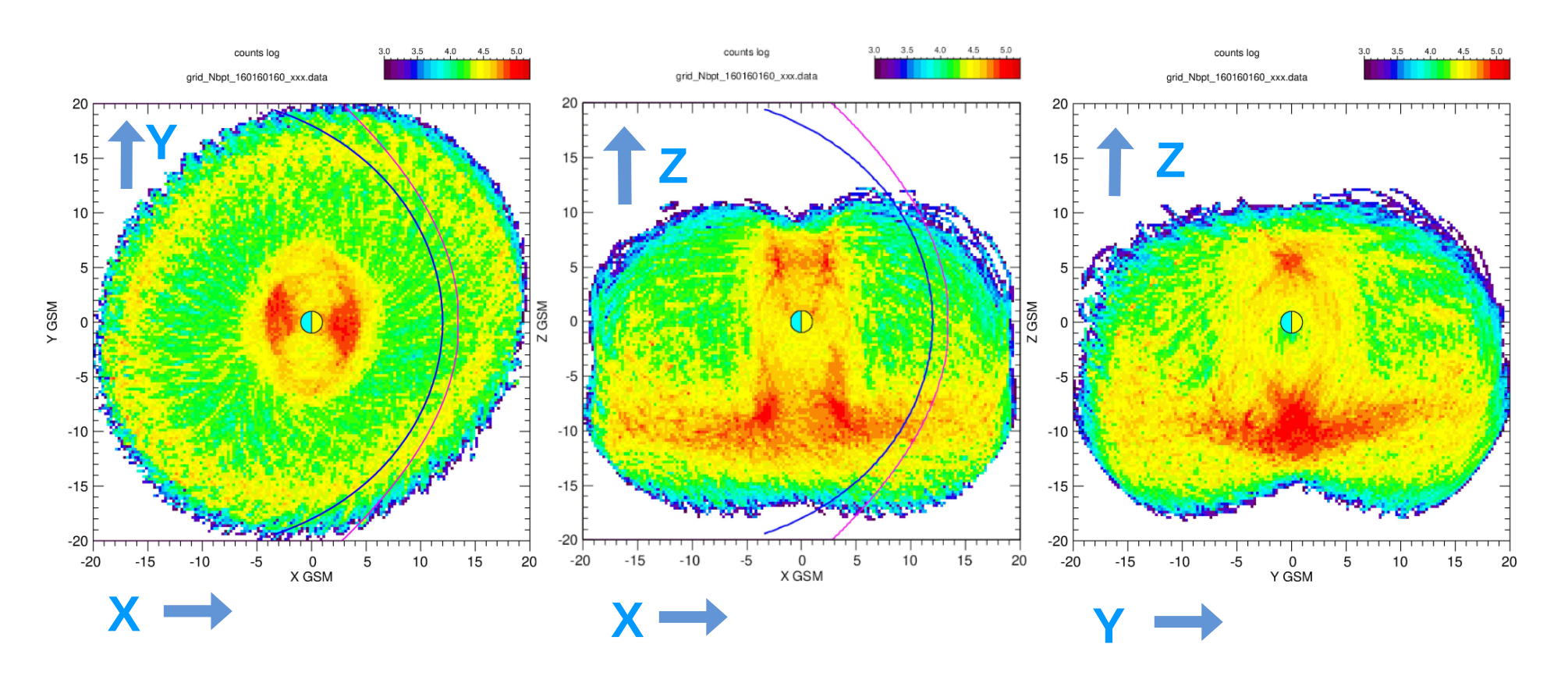
CLUSTER FGM: 20 ans de données

Idée: utiliser la couverture spatiale des mesures pour obtenir un ensemble de valeurs dans un volume fini

- Chaque point correspond à une date et une position
- Dans le GSM on fait l'hypothèse que le champ moyen dépend majoritairement de l'angle du dipôle avec Z (dipole tilt angle)
- A partir des mesures on peut construire des grilles de valeurs moyennes du champ, qui vont pouvoir être exploitées pour calculer Les intensités et directions de B et J

I - COUVERTURE SPATIALE

Dans le GSM on distribue les positions de CLUSTER pendant 20 ans sur une grille 3D de 0.25~Re



Nombre total de tétraèdre dans le cube: ~ 150 10⁶

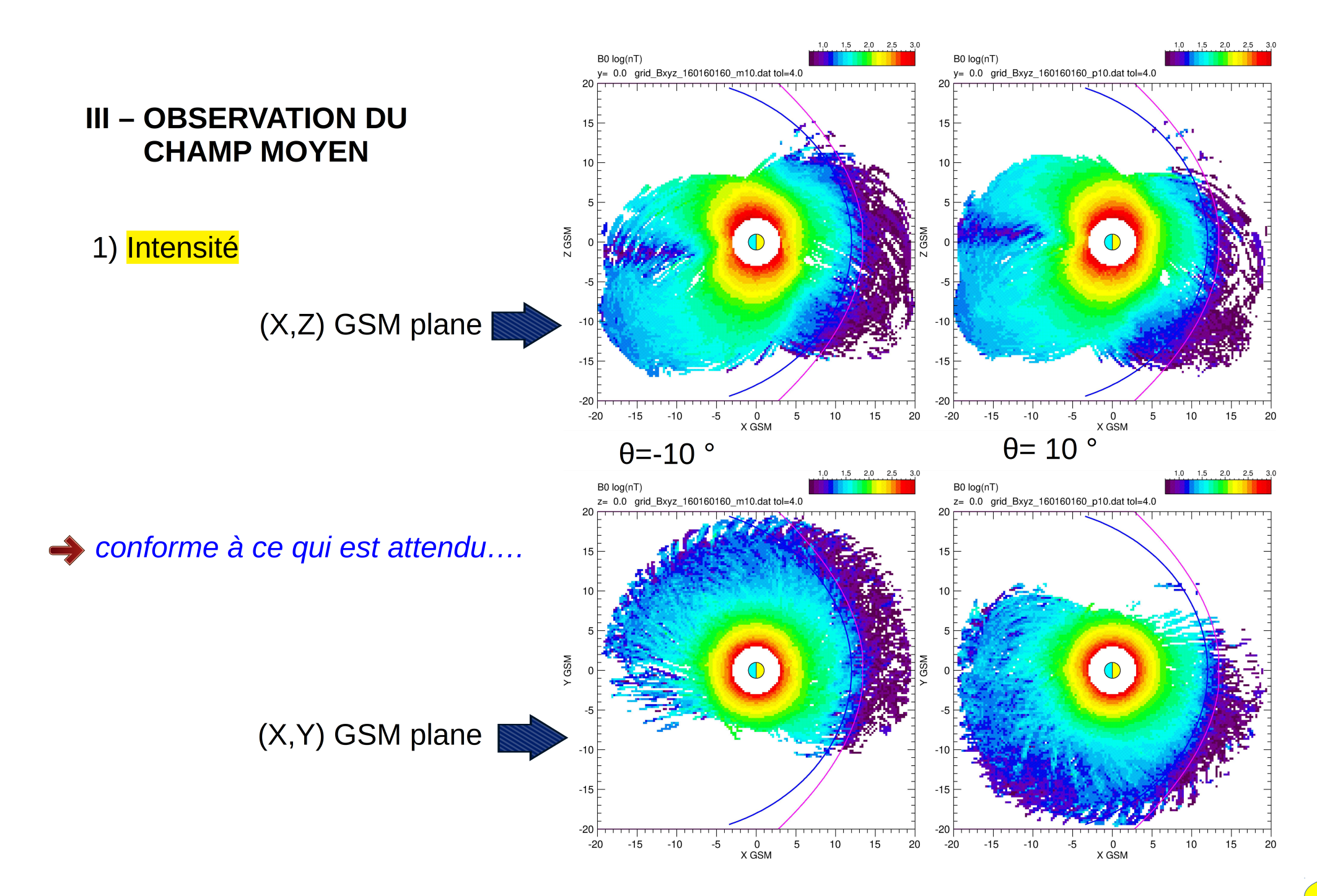
II - BASE DE DONNÉES

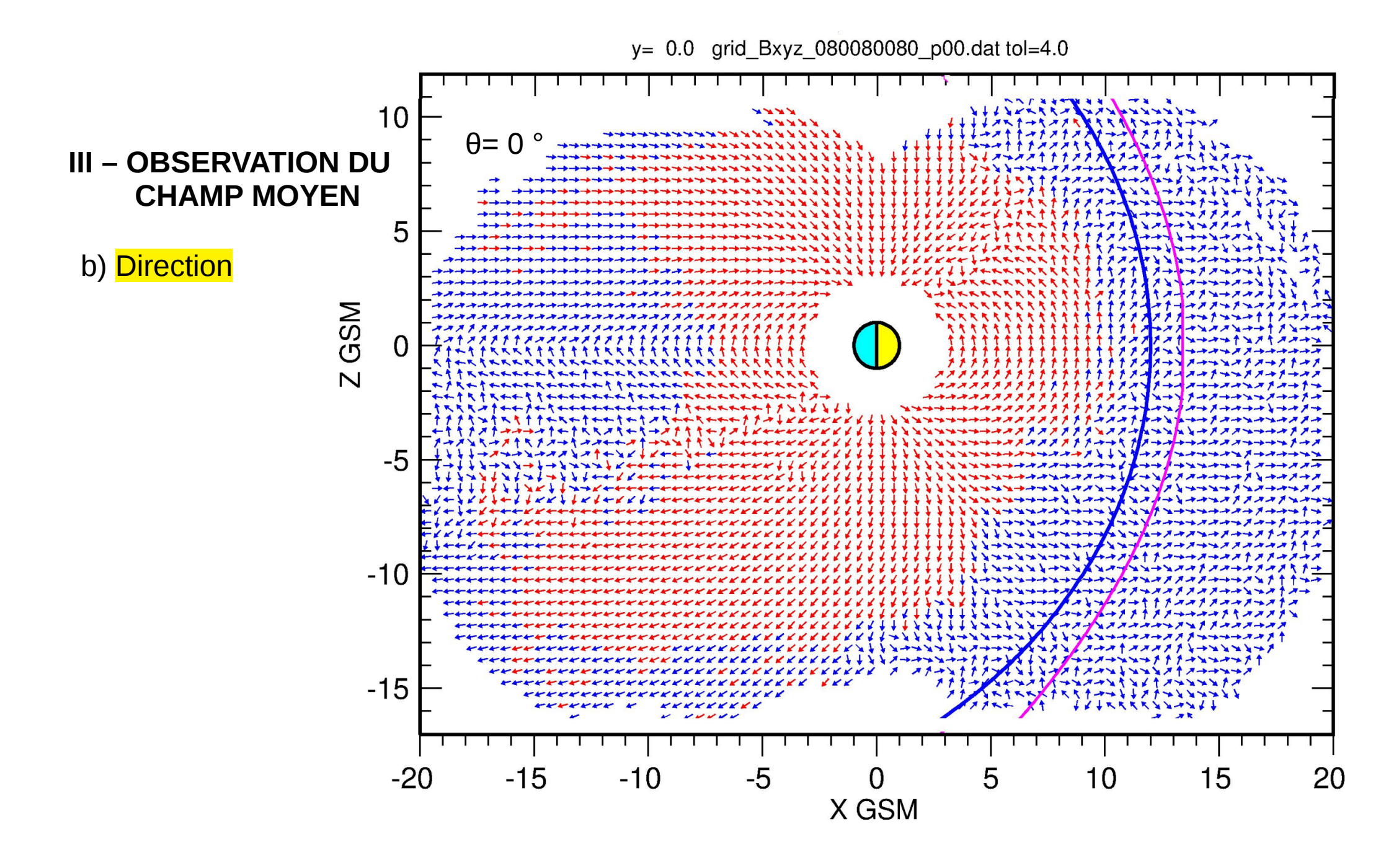
- FGM SPIN resolution (~4s); ~30 000 fichiers CEF, ~45 GB
- conversion binaire, avec champ et position : FGM_POS_database (~ 30 GB).
- pour le calcul de J il faut que les 4 mesures de B au sommet du tétraèdre soient alignées en temps. Idem pour les positions.



Création de la base *FGM_POS_aligned_database*

- fabrication de grilles 3D contenant le champ moyen pour diverses valeurs de θ (dipole tilt angle). Résolution: 0.25 RE





IV - INTERPOLATION SPATIALE

- Résolution de la grille : 0.25 RE
- Bon compromis entre la taille des cellules et le nombre de points à l'intérieur
- Interpolation de Franke-Little :
 - on collecte tous les points de la grille
 à l'intérieur d'une sphère de rayon Rmax
 - chaque point est à une distance di du point où l'on désire la valeur du champ interpolé
 - à chaque point on attribue un poids W = max(1 di/Rmax, 0)
 - et on calcule la moyenne à partir de tous les points dans la sphère



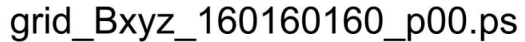
On peut ainsi avoir la valeur du champ en tout point de l'espace 3D couvert par la grille

Remarque : interpolation à partir de la grille : $\sim 4 \cdot 10^6$ points ($[40/0.25]^3$)

Interpolation à partir de tous les points initiaux : 600 $\cdot 10^6$ points : trop lourd pour un PC...

V – TRACE DE LIGNE DE CHAMP

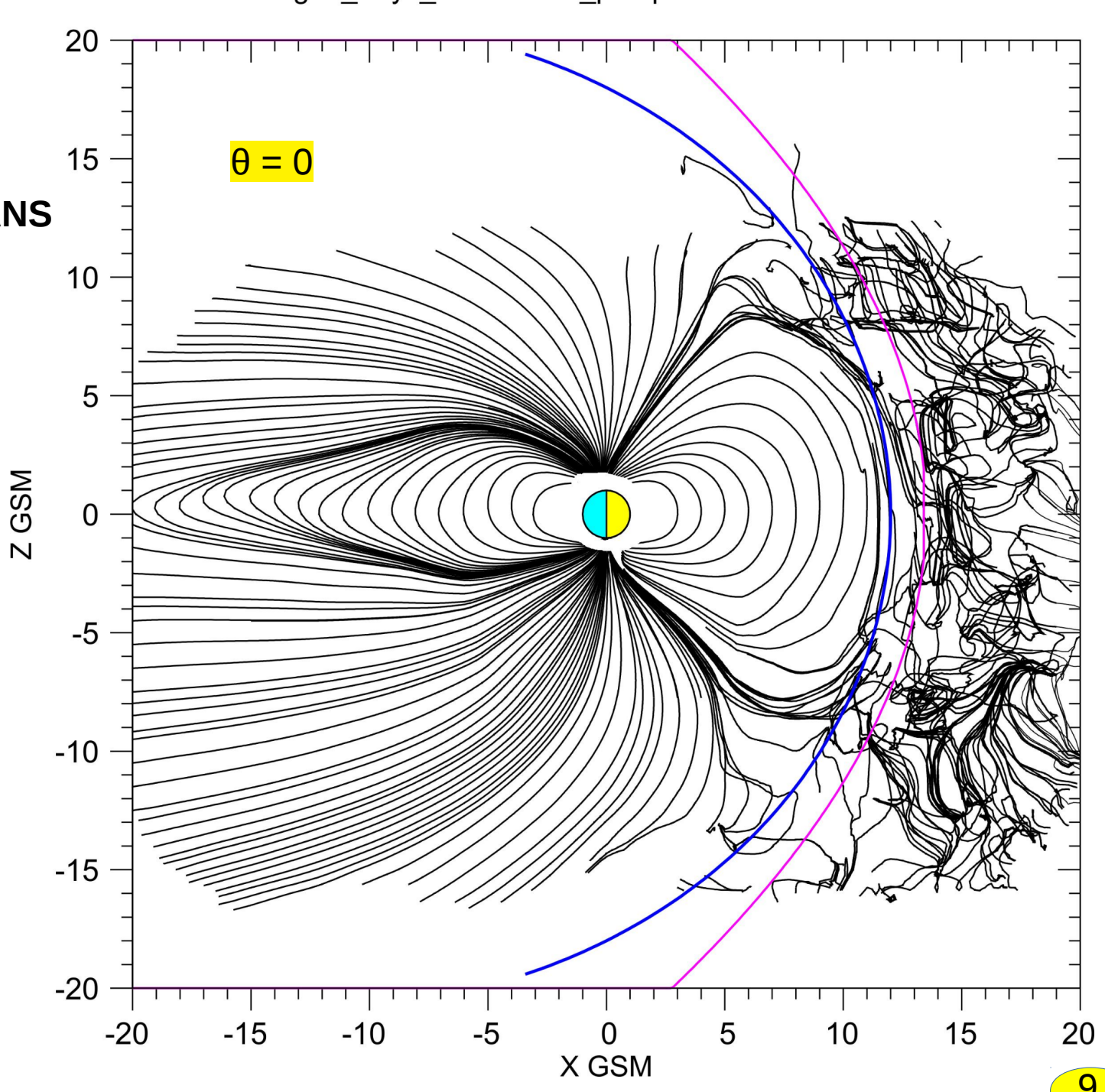
- comme on peut avoir la valeur du champ en tout point de l'espace on peut calculer des lignes de force avec un programme de tracé de rayon (TRACE de TSY.)
- à partir d'un point donné, on peu calculer la ligne de force partant de ce point (et dans les deux sens)
- en choisissant bien un ensemble de points de départ, on peut obtenir des cartes de lignes de champ



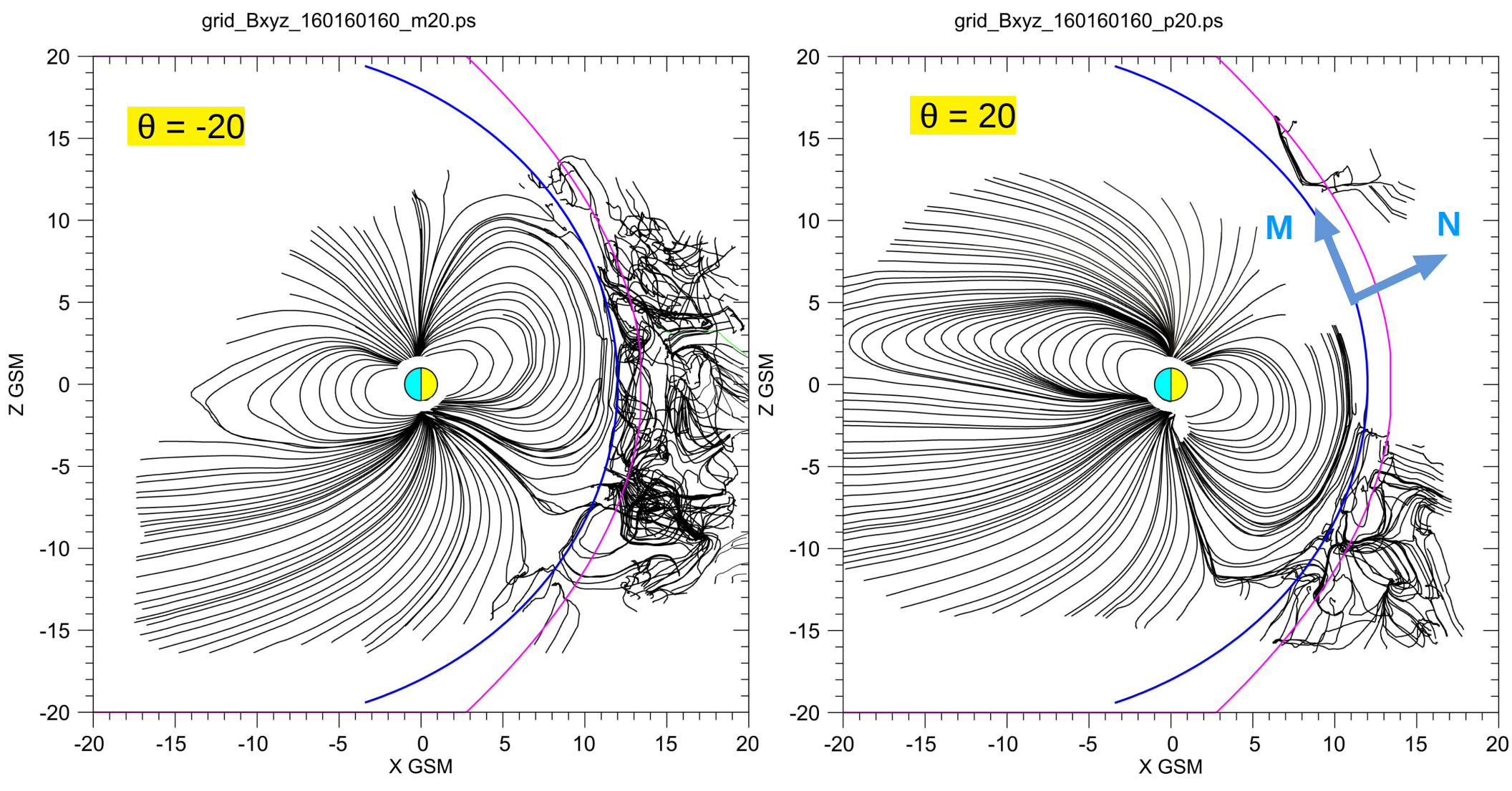


- départ des lignes de champ toujours à Y_{GSM} = 0

 permet le calcul d'une magnétopause approximée



VI – LIGNES DE CHAMP DANS LE PLAN MÉRIDIEN (Suite)





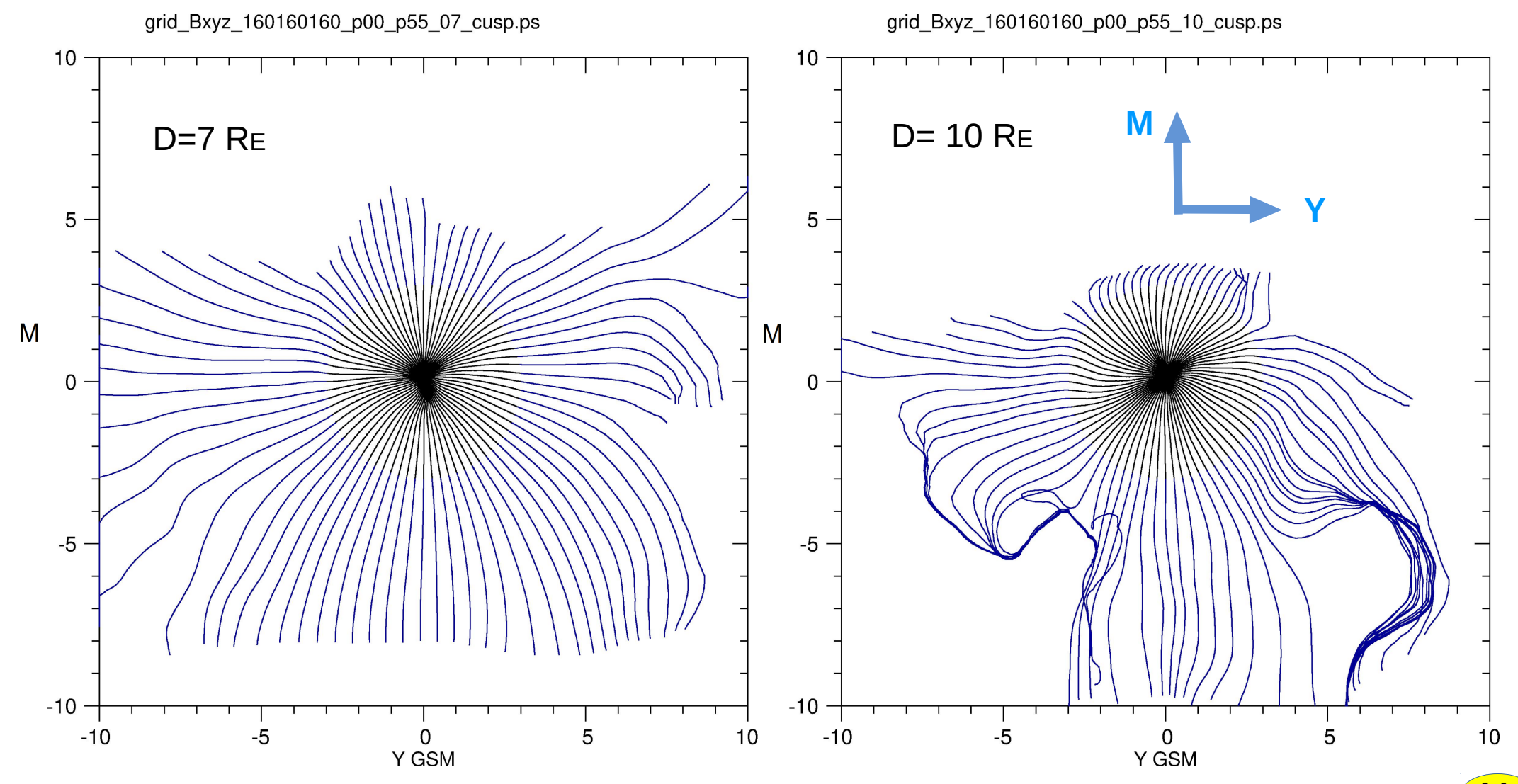
For the meridian plane, this limit is approximately fitted by half an ellips with major axis along X and minor axis along Z, the right focus being certered on the Earth. The elliptical equation in the XZ plane of GSM system i

 $r(\alpha) = p/(1 + e\cos\alpha)$

To compute p and e parameters we assume that the two points (X,Z) = (12,0) and (0,18) are part of the ellipse, which allows us to determine p = 18 and e = 0.5.

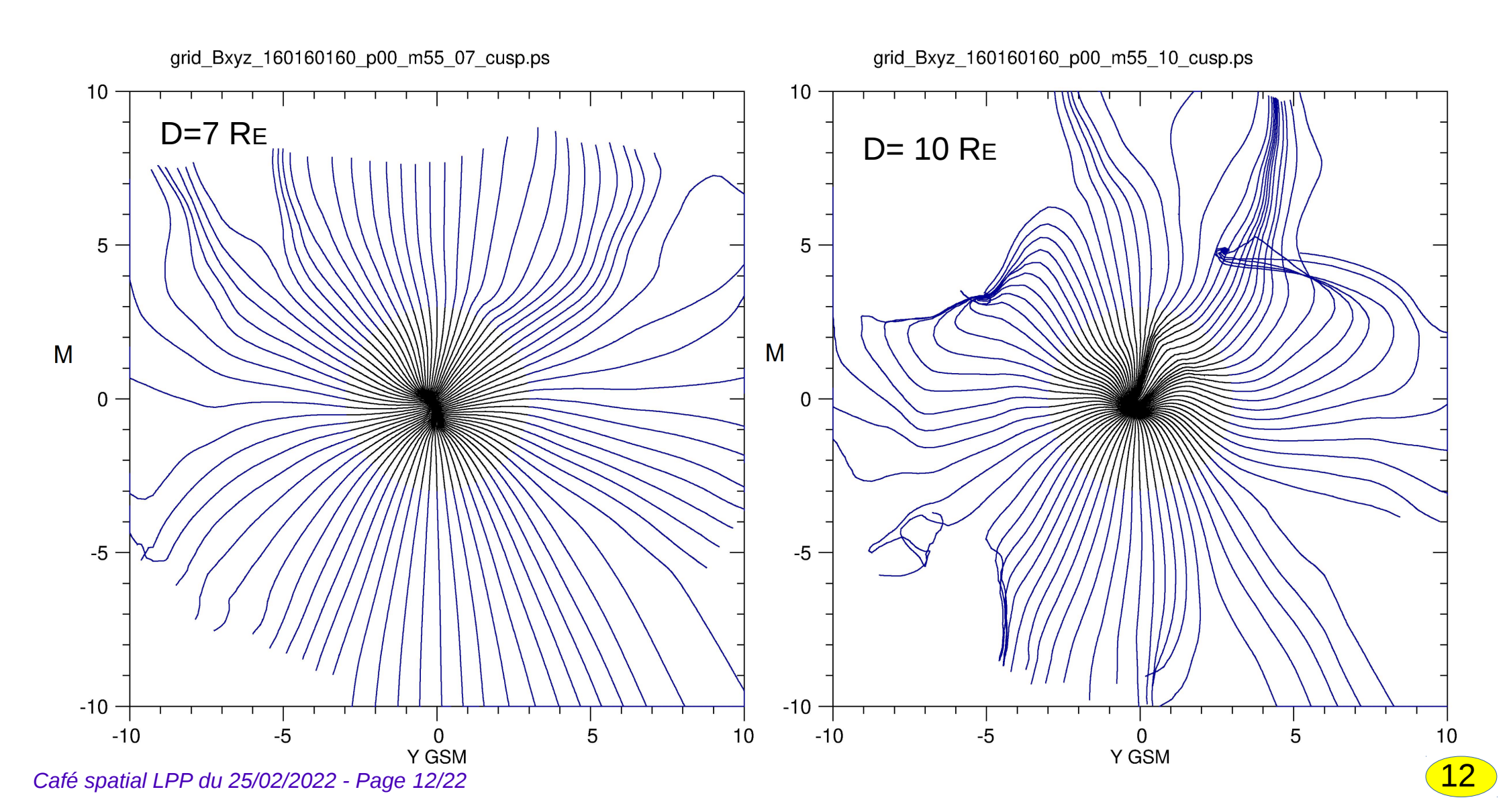
VII – LIGNE DE CHAMP PRES DES CUSPS

a) cusp **NORD**, $\theta = 0$



VII - LIGNE DE CHAMP PRES DES CUSPS

b) cusp **SUD**, $\theta = 0$



a) Rappel de la méthode de calcul

$$\oint \vec{B}(M).\vec{dl} = \mu_0.I$$

To apply this formula to a tetrahedron, consider the face formed by vertices (i,j,k). Following the linearity assumption of B, the field between the spacecraft i and j can be expressed by:

$$\vec{B}_{ij} = \vec{B}_i + (\vec{B}_j - \vec{B}_i)l/L_{ij}$$

where L_{ii} is the distance between spacecraft i and j.

So for the line *ij* we have:

$$\int_0^{L_{ij}} \overrightarrow{B}_{ij}(l) \cdot d\overrightarrow{l} = \overrightarrow{B}_j + (\overrightarrow{B}_j - \overrightarrow{B}_i) \int_0^{L_{ij}} l d\overrightarrow{l} / L_{ij} = (\overrightarrow{B}_i + \overrightarrow{B}_j) \cdot L_{ij} / 2$$

By noting the result S_{ij} , and by doing the same thing for the 3 lines of the (i,j,k) triangle, we obtain:

$$\mu_0.I_{ijk} = S_{ij} + S_{jk} + S_{ki}$$
 and so we have $J_{ijk} = (S_{ij} + S_{jk} + S_{ki})/(A_{ijk}\mu_0)$

where A_{ijk} is the aera of the (i,j,k) triangle.

To calculate the density vector \vec{j} , one chooses three faces among the four, and therefore we obtain three components of \vec{J} in a non-orthogonal coordinate system. If the tetrahedron is not flat, one carries out the passage in an orthogonal frame by a classical method and one finally obtains the vector \vec{J} in the initial coordinate system.

We thus can obtain four possible values for the estimation of the rotational gradient. In practice, when the tetrahedron is not degenerated, these 4 values are extremely close, and we use as final result the average of these four estimations.

To compute div(B) we use the divergence law, or Green-Ostrogradski law, as:

$$\iiint_{\mathcal{V}} \vec{\nabla} \cdot \vec{B} \, dV = \oint_{\partial \mathcal{V}} \vec{B} \cdot d\vec{S}$$

In the same way we have shown that $\int_0^{L_{ij}} \vec{B}_{ij}(l) \cdot d\vec{l} = (\vec{B}_i + \vec{B}_j) \cdot \vec{L}_{ij}/2$ we can show that on the face of the (i,j,k) triangle we have $\int \vec{B} \cdot d\vec{S} = \vec{B}_{ijk} \cdot \vec{N}_{ijk}$, where \vec{N}_{ijk} is the output normal to the (i,j,k) face and $\vec{B}_{ijk} = (\vec{B}_i + \vec{B}_j + \vec{B}_k)/3$.

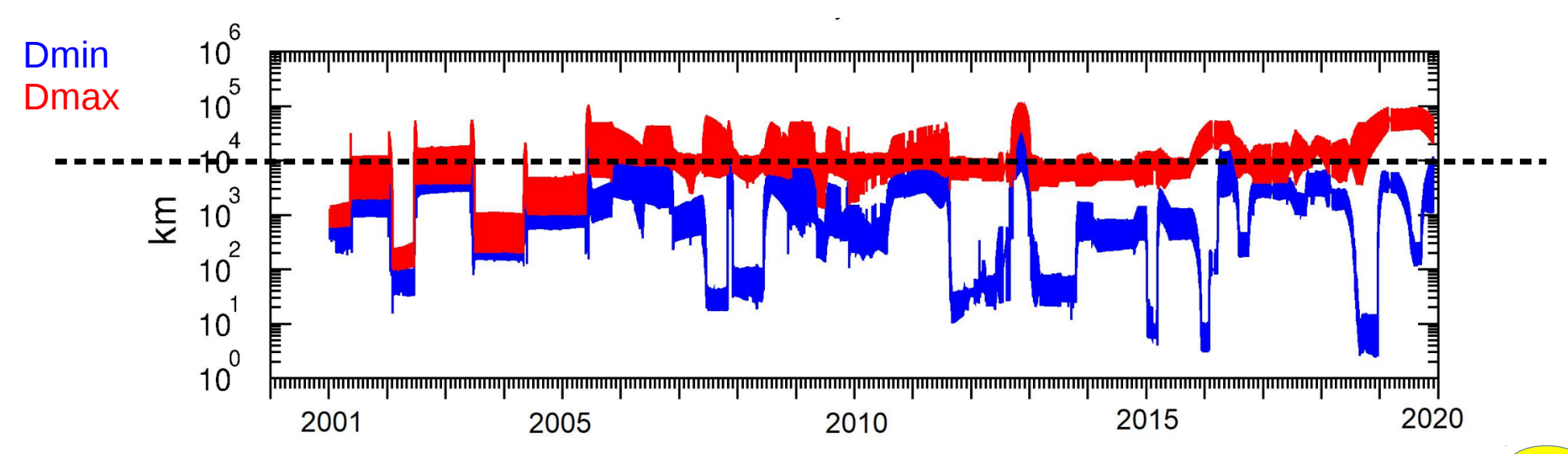
By dividing by the volume of the tetrahedron, we obtain the contribution of the divergence on each face;

$$D_{ijk} = \vec{B}_{ijk} \cdot \vec{N}_{ijk} / V$$

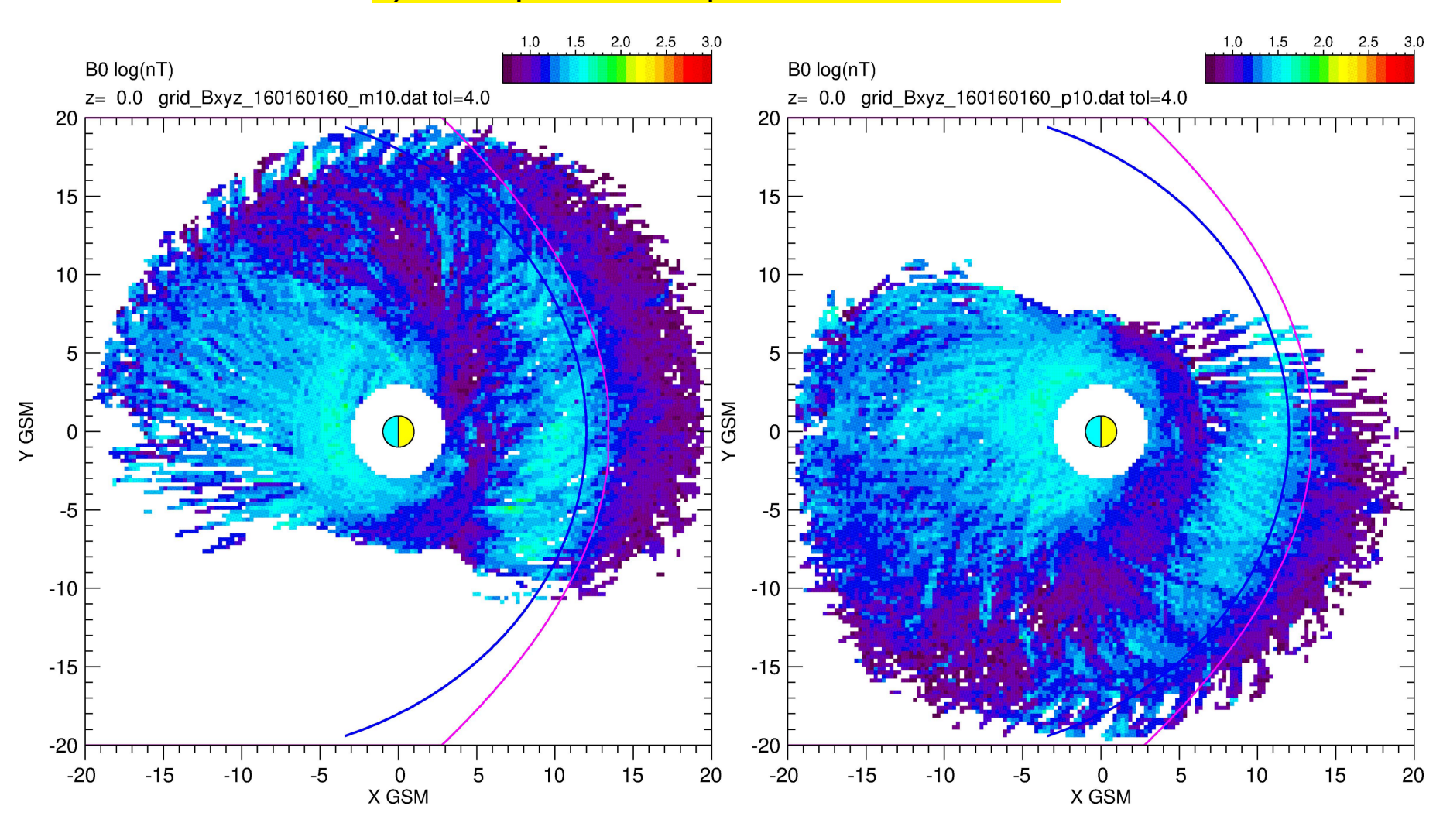
and finally the total divergence $Div(\vec{B}) = D_{123} + D_{134} + D_{142} + D_{432}$

a) Test de la méthode

- élimination des tétraèdres dégénérés (élongation planarity > 0.9)
- limitation de la taille du tétraèdre : choix d'une limite sur les inter-distances Dmax= 10 000 km
- retrait du champ IGRF avant calcul



b) Champ résiduel après retrait de l'IGRF



c) deux manière pour calculer J

1- prendre tous les tétraèdres sélectionnés et calculer J et div(B)



Utilisation de la base FGM_POS_aligned_database

2 - prendre les valeurs de B données par la grille 3D du champ moyen Et définir un tétraèdre virtuel par

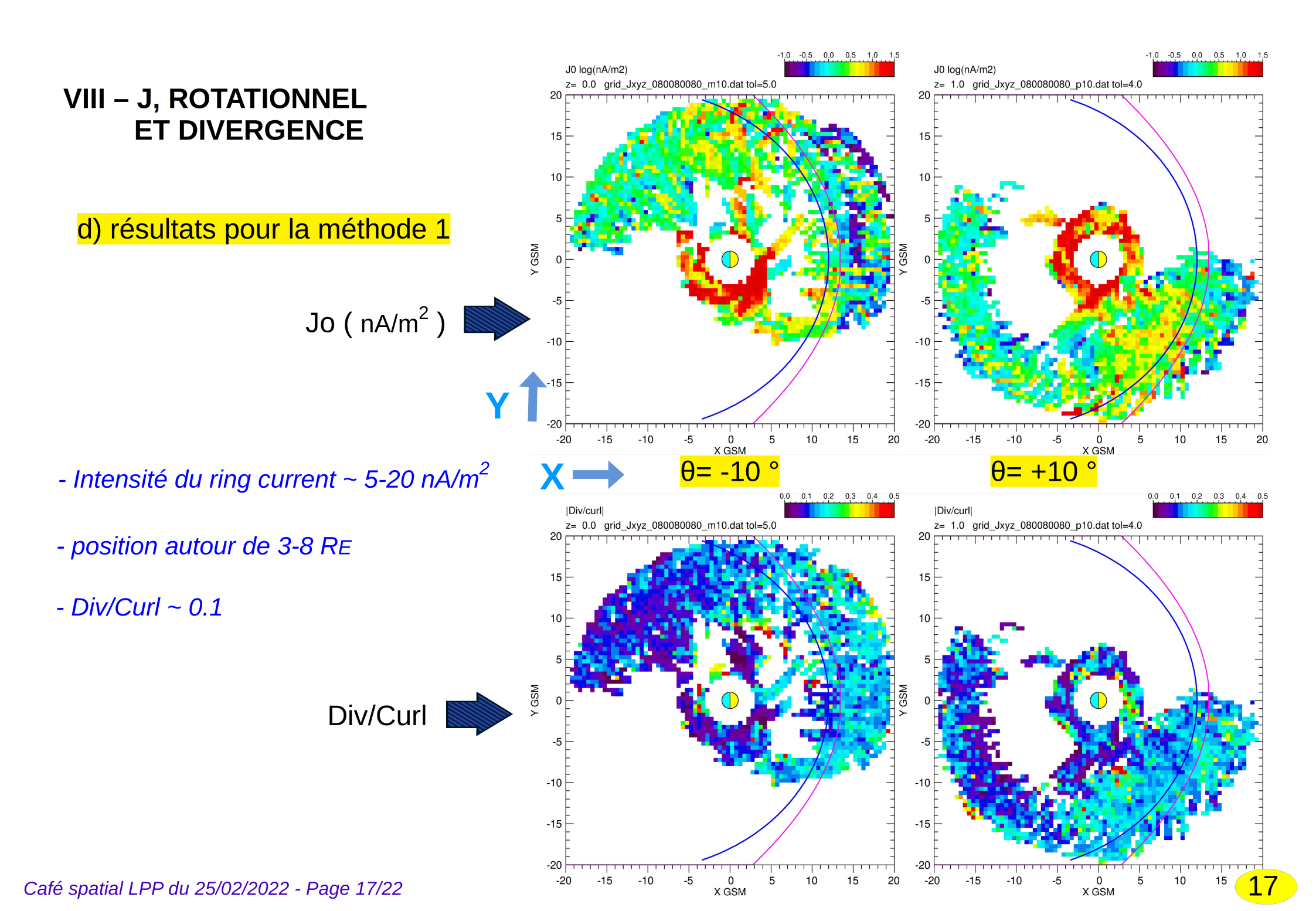
$$P1(i, j, k), P2(i + 1, j, k), P3(i, j + 1, k), P4(i, j, k + 1)$$



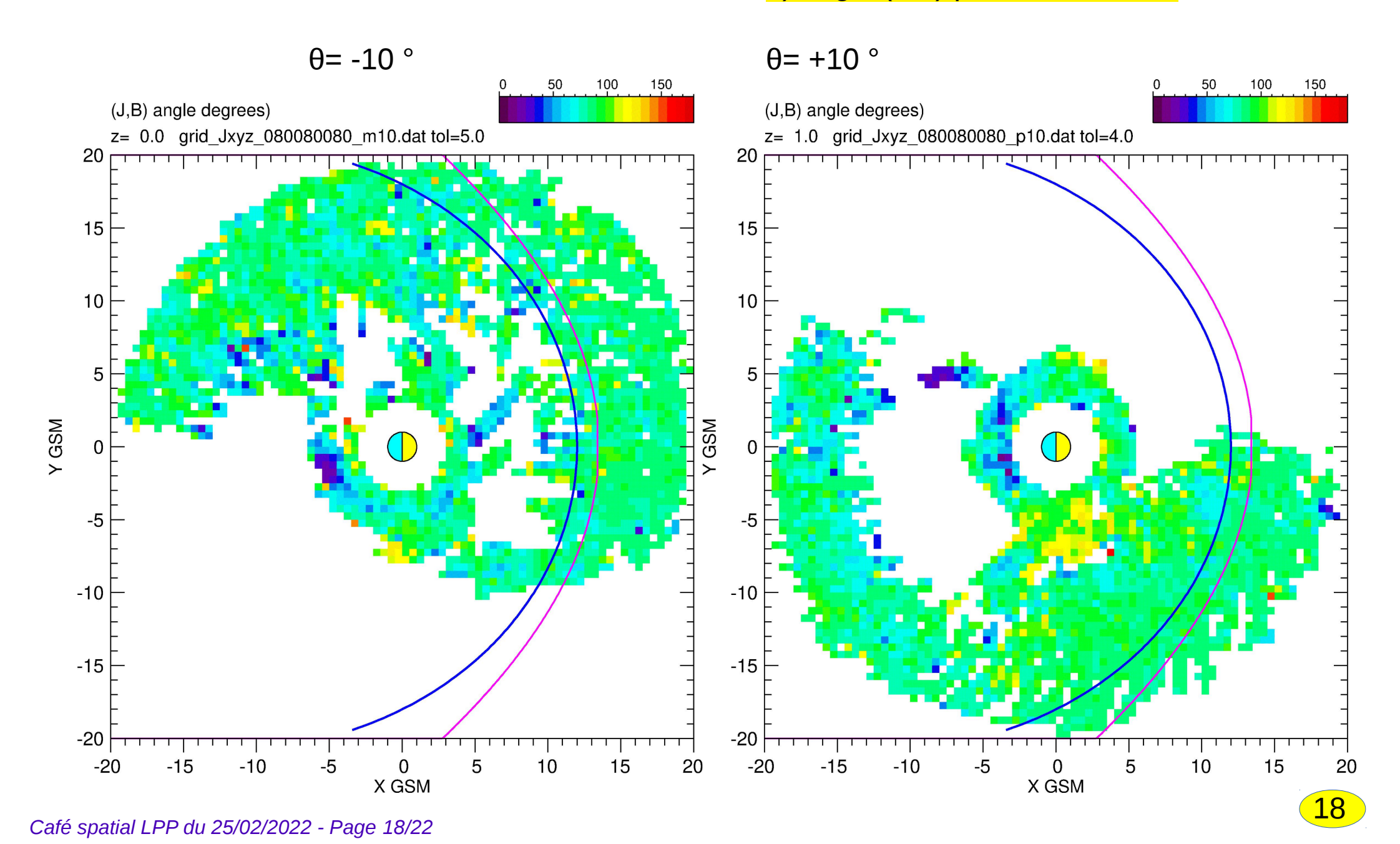
Utilisation de la base *FGM_POS_database*

Avantages:

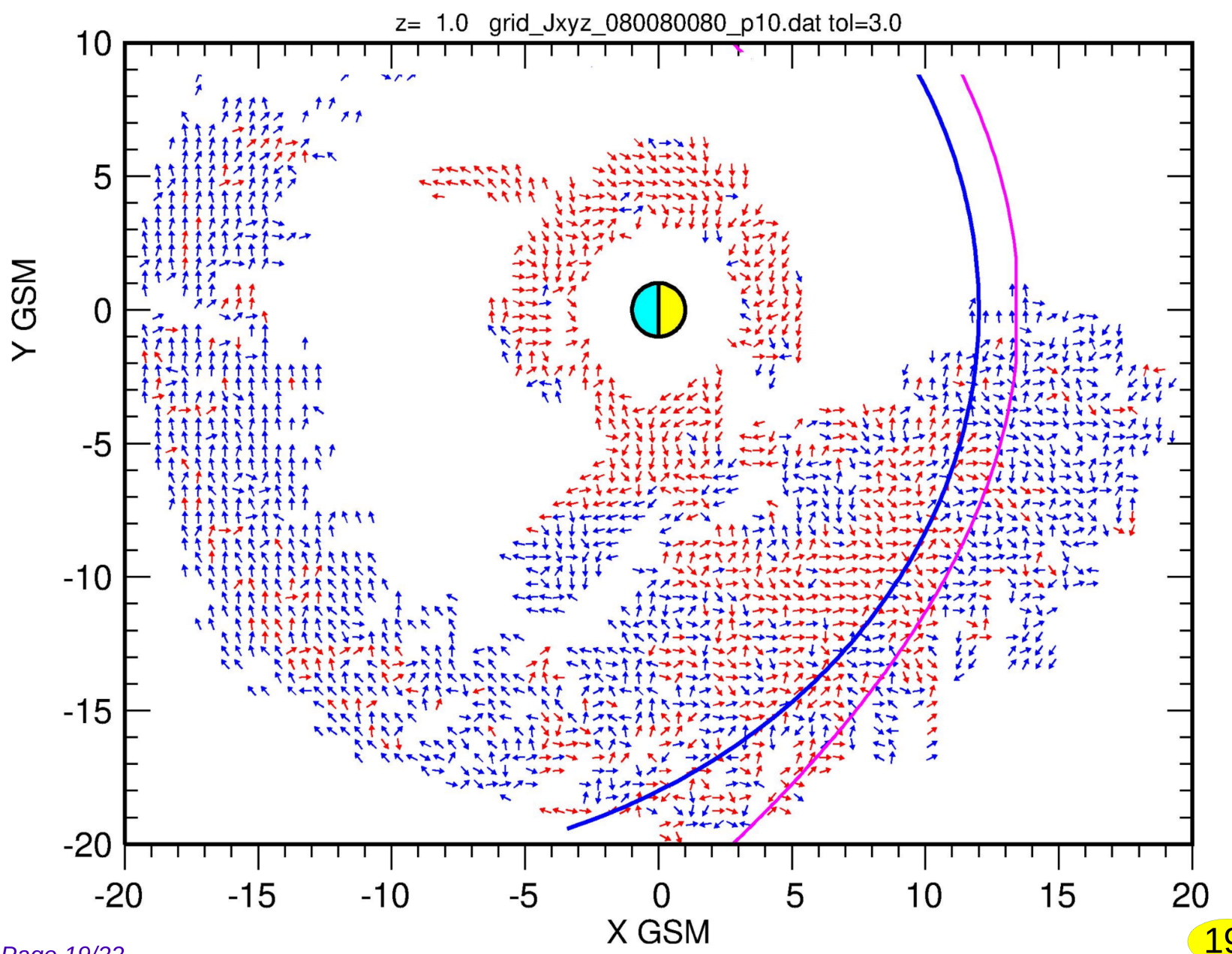
- tétraèdre orthogonal
- tétraèdre de petite taille : la taille du maillage
- base de donnée plus grande (ne nécessite pas de groupe de 4 satellites)



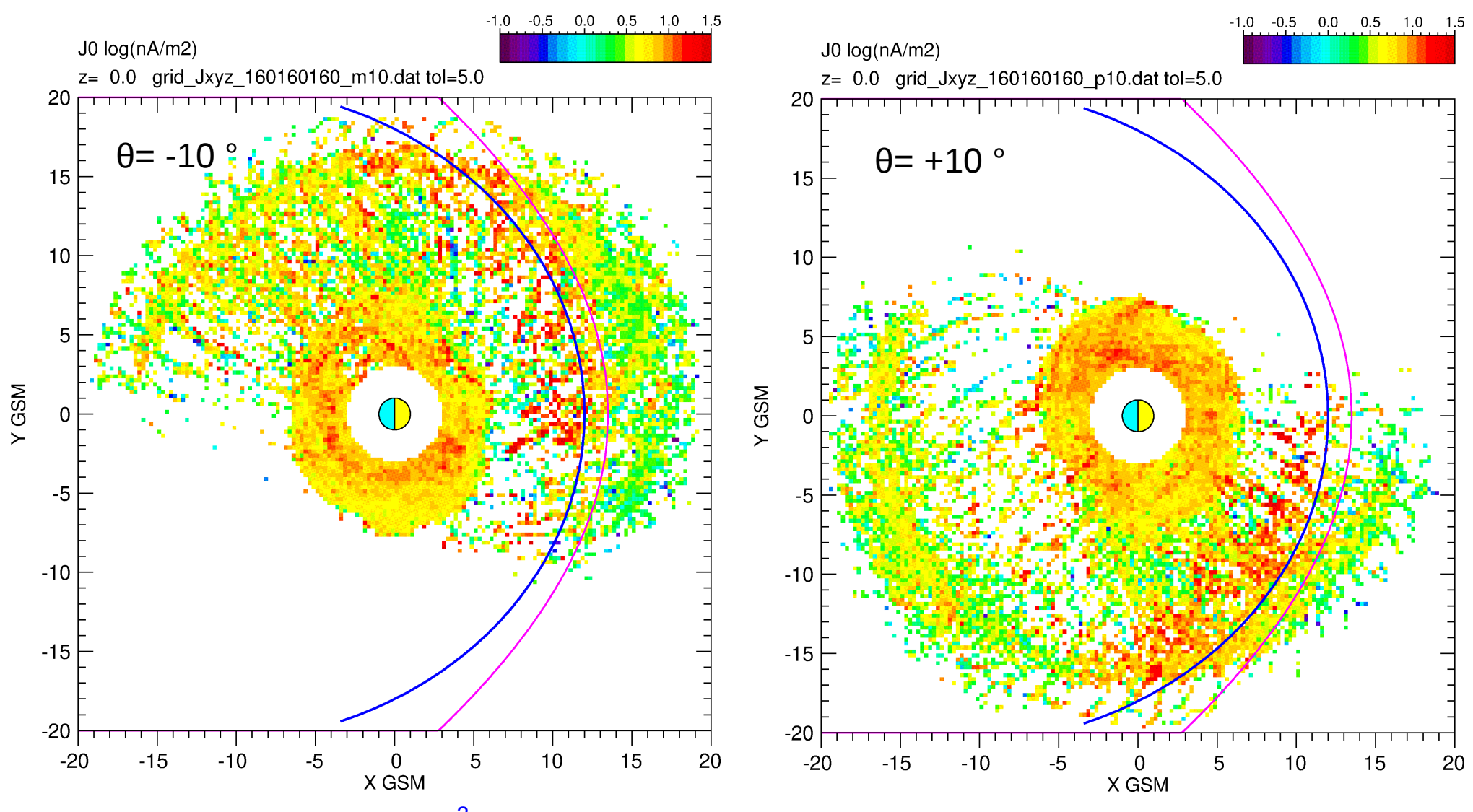
e) angle (J,B) par la méthode 1



f) direction de J par la méthode 1



f) résultats pour la méthode 2



- Intensité du ring current ~ 5-20 nA/m²

- position autour de 3-8 RE



 Ring current mieux défini par cette méthode

g) résultats pour la méthode 2

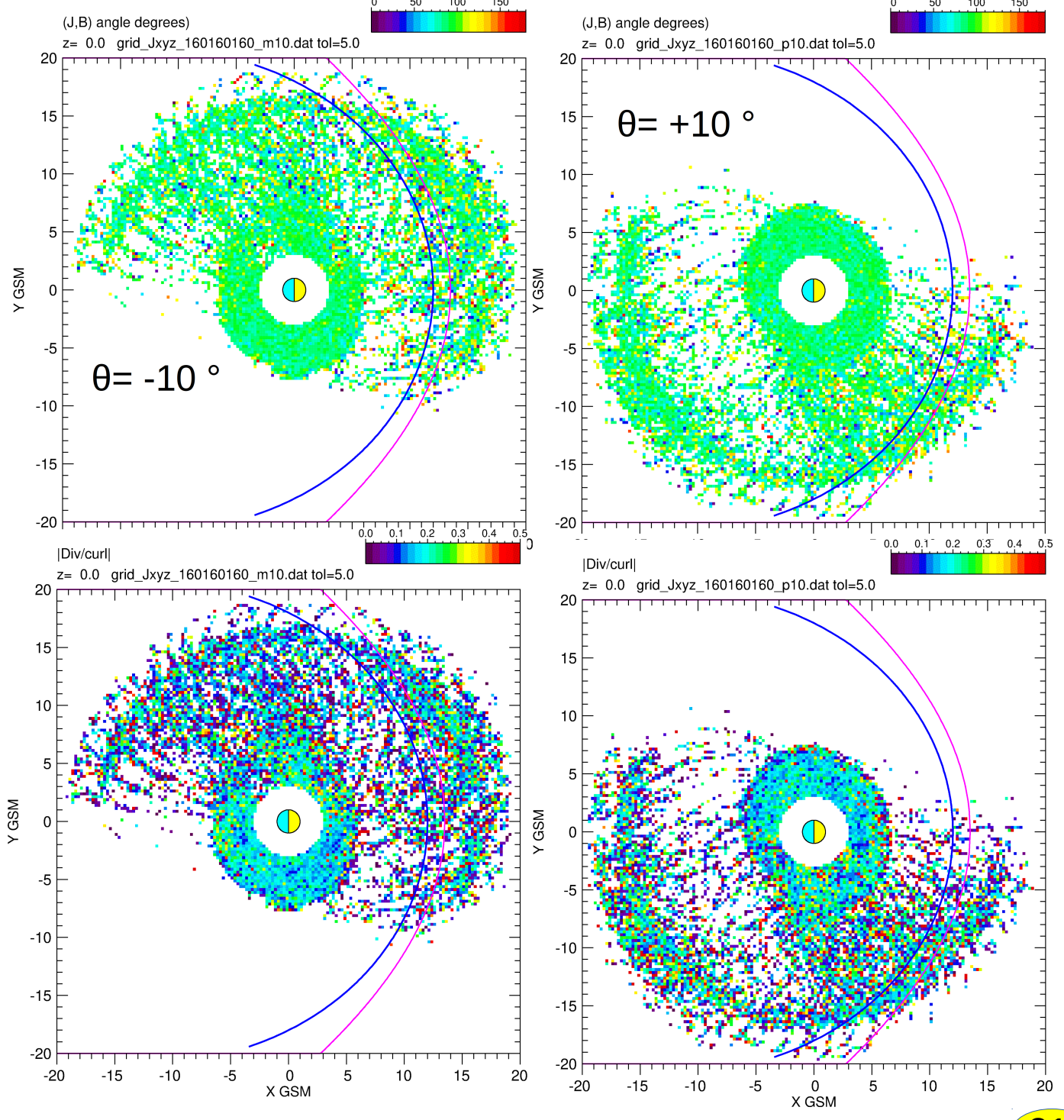
(J,B) angle



- (J,B) ~ 90 °

- $Div/Curl \sim 0.1 - 0.2$

Div/Curl



X - CONCLUSION

- création d'une base de donnée de B et de P alignée en temps (20 ans!)
- logiciel de lecture et de calcul de rot et div de B
- création de grilles 3D de B et de J
- interpolation 3D pour obtenir $B(x,y,z,\theta)$
- possibilité de calculer des lignes de force
- production de cartes de B et J, en module et en direction
- production de cartes des lignes de champ

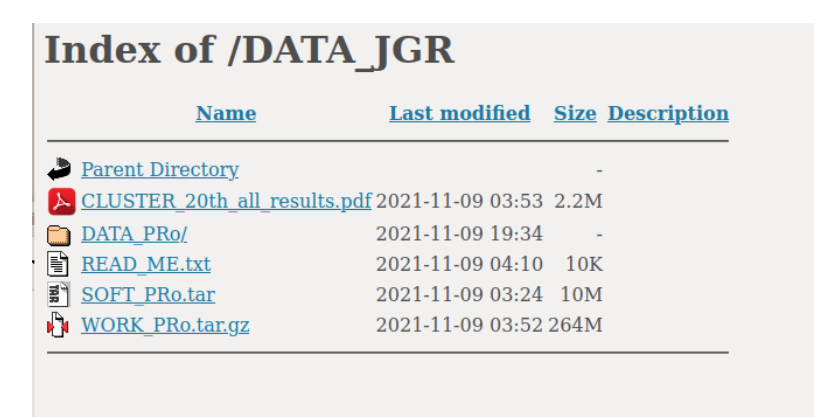


Possibilité ultérieure de rajouter d'autres critères que le simple θ



Base de donnée, logiciels et principaux résultats sont disponibles en ligne :

roserv.ddns.net/DATA_JGR





Papier JGR disponible ici :

http://www.scientidev.fr/FTP_server/Publications/Articles/